

Imagen en cardiología

Nuevo catéter, ángulo largo, de ecocardiografía intracardiaca 3D

New Catheter, Wide Angle Imaging, 3D Intracardiac Echocardiography

José Ribeiro*, Pedro Braga y Vasco Gama

Cardiology Department, Centro Hospitalar Gaia/Espinho, Vila Nova de Gaia, Portugal

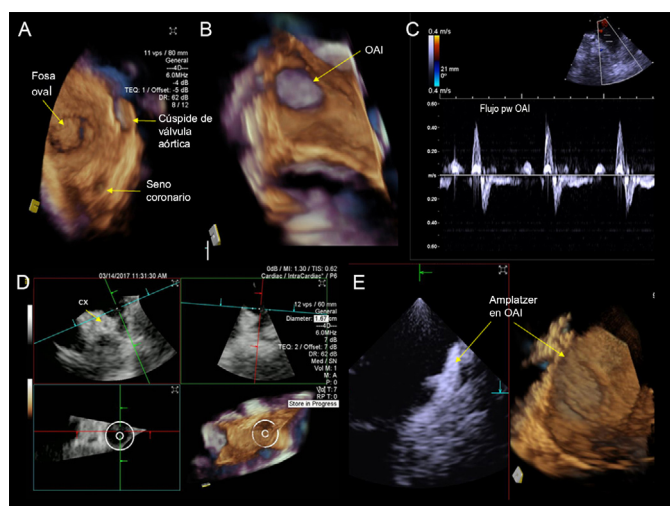


Figura 1.

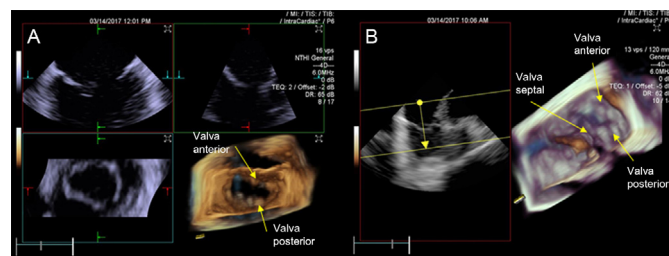


Figura 2.

Durante los últimos años, el continuo desarrollo de la ecocardiografía intracardiaca (EIC) ha hecho posible que esta técnica desempeñe un papel importante como guía para varias intervenciones en las cardiopatías estructurales, sin necesidad de anestesia general. Sin embargo, el catéter de EIC tridimensional disponible ahora tiene un ángulo de elevación corto (máximo, $90^\circ \times 24^\circ$), y ello limita su capacidad para visualizar completamente dispositivos o estructuras cardiacas.

Se presenta el primer uso europeo de la EIC de volumen con un ángulo de apertura ampliado para guiar la oclusión de la orejuela auricular izquierda (OAI). Con una interfaz con el sistema de ecografía ACUSON SC200 (Siemens Healthineers; Erlangen, Alemania), la tecnología de EIC de volumen ACUSON AcuNav es un catéter de calibre 12,5 Fr, capaz de obtener un volumen de $90^\circ \times 50^\circ$ con una velocidad de fotogramas de volumen de 16 volúmenes por segundo.

La figura 1A se obtuvo con el catéter colocado en la aurícula derecha y muestra el tabique interauricular y su relación con la válvula aórtica y el seno coronario, y puede usarse como guía para la punción interauricular. La figura 1B se obtuvo desde la aurícula izquierda y muestra la apertura completa de la OAI. En la figura 1C se muestra el registro del flujo de onda de pulso en la OAI. La reconstrucción multiplanar de la OAI con el instrumento de medición de círculo puede observarse en la figura 1D, que muestra también la arteria circunfleja (Cx). La figura 1E se obtuvo al final de la intervención y muestra el dispositivo Amplatzer correctamente colocado en la OAI en las proyecciones bidimensional y tridimensional (vídeo 1 del suplemento). Por último, en la figura 2A y la figura 2B, se muestran todas las valvas de las válvulas mitral y tricúspide (vídeo 2 del suplemento).

MATERIAL SUPLEMENTARIO



Se puede consultar material suplementario a este artículo en su versión electrónica disponible en <http://dx.doi.org/10.1016/j.recesp.2017.07.001>

* Autor para correspondencia:
Correo electrónico: cardiogaia@gmail.com (J. Ribeiro).
On-line el 11 de noviembre de 2017

Full English text available from: www.revespcardiol.org/en